
Kap. 10:

Zweiatomige lineare Kette
(Gitterschwingungen in 1D)

10. Zweiatomige lineare Kette (1)

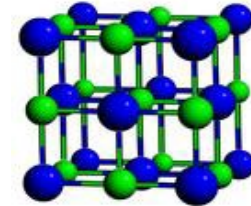
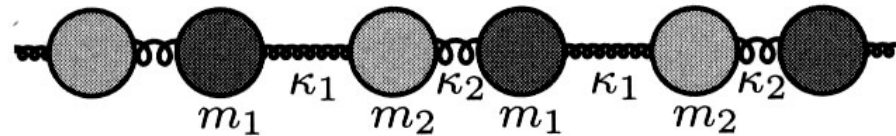


Fig. 10.1 A general diatomic chain with two different types of atoms (i.e., two different masses) and two different types of springs.

- Periodische Fortsetzung einer größeren Einheitszelle
- Innerhalb einer Einheitszelle i.a. unterschiedliche Atome & unterschiedliche Bindungen (→ modelliert durch verschiedene Federkonstanten)
- Sonderfälle: gleiche Atome, verschiedene Federkonstanten
verschiedene Atome, gleiche Federkonstanten

10. Zweiatomige lineare Kette (2)

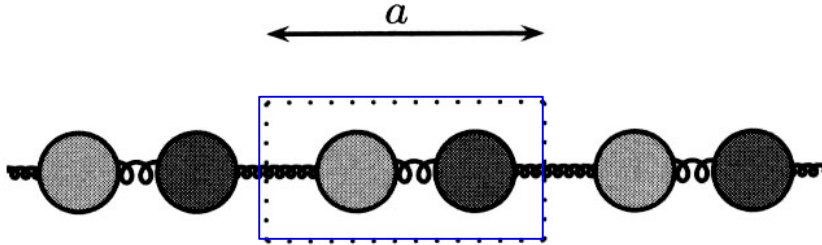


Fig. 10.2 A unit cell for the diatomic chain.

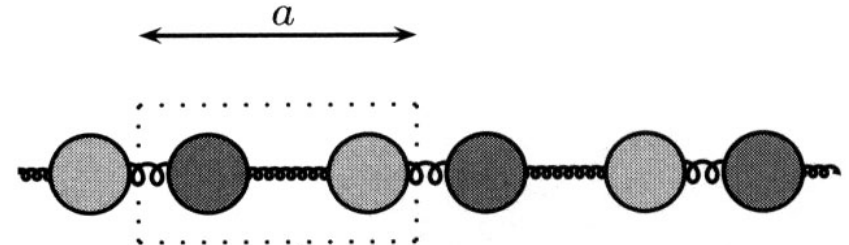


Fig. 10.3 Another possible unit cell for the diatomic chain.

Wahl der periodisch wiederholten Einheitszelle ist beliebig!

10. Zweiatomige lineare Kette (3)

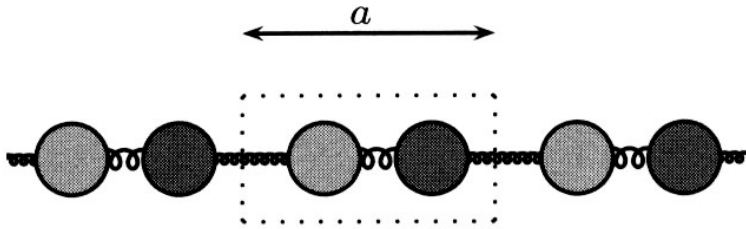


Fig. 10.2 A unit cell for the diatomic chain.

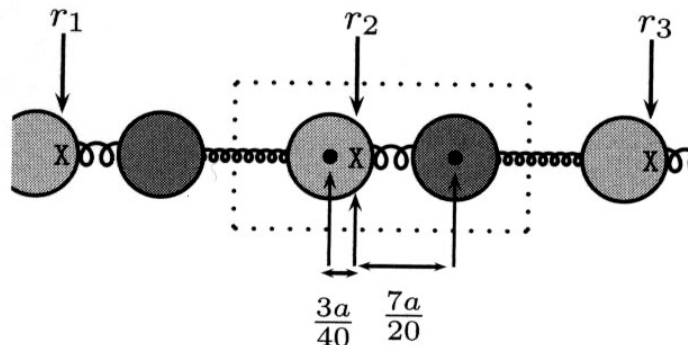


Fig. 10.4 The *basis* describes the objects in the crystal with respect to the positions of the reference lattice points. Here the reference point (at position r_n) is marked with an X.

Beispiel:

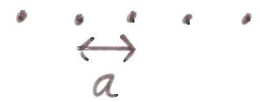
1. Schritt: willkürliche Wahl einer Einheitszelle

2. Schritt: willkürliche Wahl eines Referenzpunktes in jeder Zelle zur Adressierung (alle Referenzpunkte sind äquivalent: "Gitter")

3. Schritt: relative Beschreibung der Atompositionen bezüglich des Referenzpunktes ("Basis")

Zweiatomige lineare Kette

(3) \rightarrow bisher: Periodizitätslänge = Abstand der Atome



jetzt: Verallgemeinerung auf Systeme mit unterschiedlichen Atomen
nicht-äquivalente Gitterplätze \rightarrow größere Einheitszelle
(\equiv periodisch wdh. Gebiot)

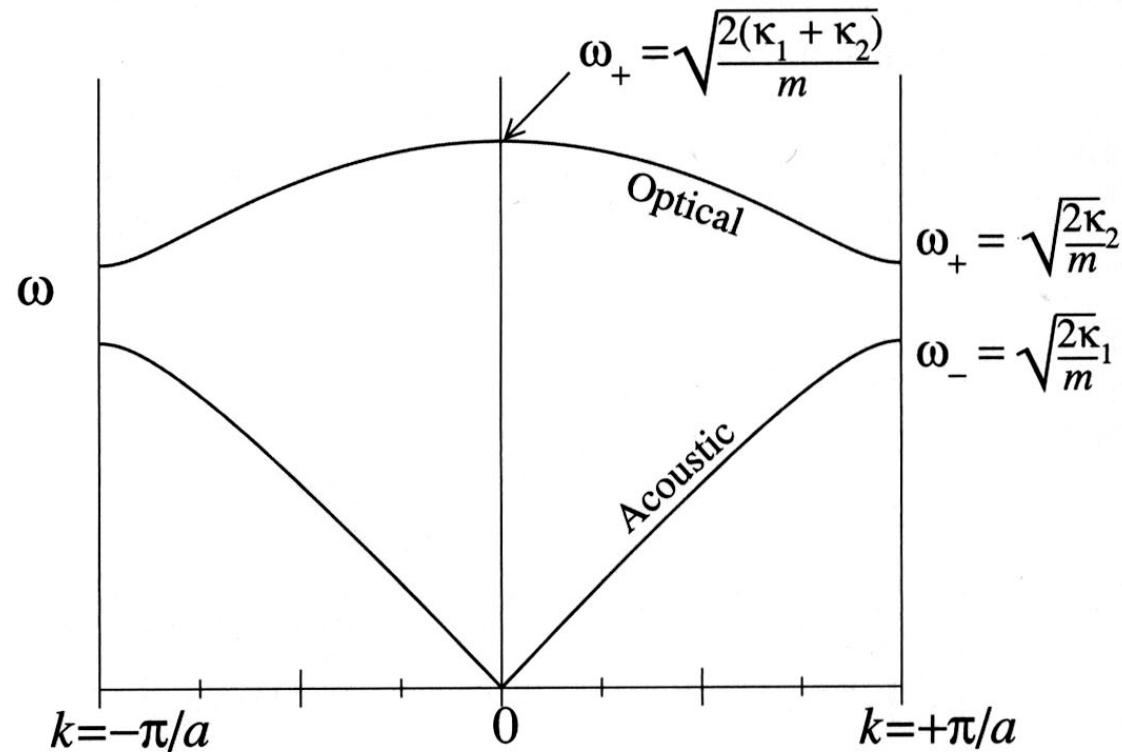
- unterschiedliche Atome
- "Federn"

Gitter: Gesamtheit aller äquivalenten Punkte $r_n = n \cdot a \quad n \in \mathbb{Z}$
Periodizitätslänge = $a = \Delta r_n$

Basis: Position der Atome i relativ zum Gitterpunkt in jeder Zelle
 $x_n^{eq,i} = r_n + \Delta x^{eq,i}$

10. Zweiatomige lineare Kette (4)

Fig. 10.6 Dispersion relation for vibrations of the one-dimensional diatomic chain. The dispersion is periodic in $k \rightarrow k + 2\pi/a$. Here the dispersion is shown for the case of $\kappa_2 = 1.5\kappa_1$. This scheme of plotting dispersions, putting all normal modes within the first Brillouin zone, is the *reduced zone scheme*. Compare this to Fig. 10.8.



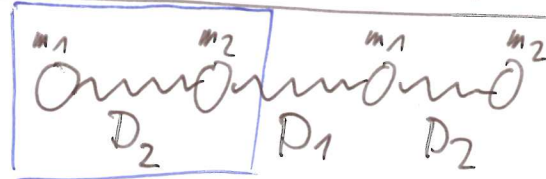
Dispersionskurve der linearen Kette
(2 nichtäquivalente Plätze in Einheitszelle)

Rechnung:

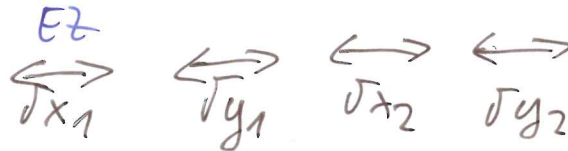
- Herleitung Dispersionskurve
- Übersicht Verallgemeinerung f. M-atomige Kette

Normalmoden in zweiatomiger Kette

Zwei Sorten Atome



Vereinfachung: $m_1 = m_2 = m$



$$\tilde{x}_n = x_n(t) - x_n^{eq}$$

$$\tilde{y}_n = \dots$$

$x, y \hat{=}$ Basis

$1, 2, 3, \dots \hat{=}$ Nr. Einheitsstelle

$$\text{Kraftgl.: } m \ddot{\tilde{x}}_n = F_n^x = D_2 (\tilde{y}_n - \tilde{x}_n) + D_1 (\tilde{y}_{n-1} - \tilde{x}_n) \quad (1)$$

$$m \ddot{\tilde{y}}_n = F_n^y = D_1 (\tilde{x}_{n+1} - \tilde{y}_n) + D_2 (\tilde{x}_n - \tilde{y}_n) \quad (2)$$

Ansätze: $\tilde{x}_n = A_x e^{i(\omega t - kna)}$
 $\tilde{y}_n = A_y e^{i(\omega t - kna)}$

$$(1) \rightarrow -\omega^2 m A_x e^{i(\omega t - kna)} = e^{i\omega t} \cdot e^{-ikna} [D_2 A_y - D_2 A_x + D_1 e^{-ik(-1)a}]$$

$$(2) \rightarrow -\omega^2 m A_y = D_1 A_x e^{-ikna} + D_2 A_x - (D_1 + D_2) A_y$$

Matrixschreibweise: $m \omega^2 \begin{pmatrix} A_x \\ A_y \end{pmatrix} = \begin{bmatrix} D_1 + D_2 & -D_2 - D_1 e^{ikna} \\ -D_2 - D_1 e^{-ikna} & D_1 + D_2 \end{bmatrix} \begin{pmatrix} A_x \\ A_y \end{pmatrix}$

Eigenwert-Gl. !

$$m \omega^2 \underline{\underline{1}} \begin{pmatrix} A_x \\ A_y \end{pmatrix} = \underline{\underline{D}} \begin{pmatrix} A_x \\ A_y \end{pmatrix}$$

„Dynamische Matrix“

$$\underline{\underline{0}} = \left(\underline{\underline{D}} - m \omega^2 \underline{\underline{1}} \right) \begin{pmatrix} A_x \\ A_y \end{pmatrix}$$

$\det(\quad) = 0$ f. nichttriviale Lsg.

$$\det \begin{pmatrix} D_1 + D_2 - m \omega^2 & -D_2 - D_1 e^{i k a} \\ -D_2 - D_1 e^{-i k a} & D_1 + D_2 - m \omega^2 \end{pmatrix} = 0$$

$$|D_1 + D_2 - m \omega^2|^2 = D_2^2 + D_2 D_1 (e^{i k a} + e^{-i k a}) + D_1^2$$

$\underbrace{\hspace{10em}}_{2 \cos(k a)}$

$$\omega^2 = \frac{D_1 + D_2}{m} \pm \frac{1}{m} \sqrt{D_1^2 + D_2^2 + 2 D_1 D_2 \cos(k a)}$$

2 reelle ω -Werte f. jedes k

ω_+ : optischer Zweig

ω_- : akustischer "

einatomige Kette	zweiatomige Kette	M-atomige Kette
N Einheitszellen N Atome N Moden 1 Zweig: $(1$ akustischer Zweig $\omega = v_s k$ $f. k \rightarrow 0$	N Einheitszellen $2N$ Atome $2N$ Moden 2 Zweige: 1 akust. Zweig (N Moden) 1 opt. " (N Moden)	N Einheitszellen $M \cdot N$ Atome $M \cdot N$ Moden M Zweige 1 akust. Zweig $M-1$ opt. Zweige

10. Zweiatomige lineare Kette (5)

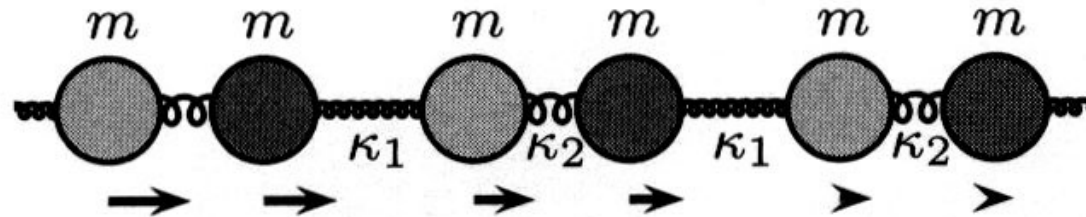


Fig. 10.7 A long wavelength acoustic mode for the alternating chain.

Akustische Mode

Auslenkungsmuster für große Wellenlängen ($k \rightarrow 0$):
benachbarte Atome bewegen sich gleichphasig

Namensgebung: Schwingungsmode beschreibt Schallwellen

10. Zweiatomige lineare Kette (6)

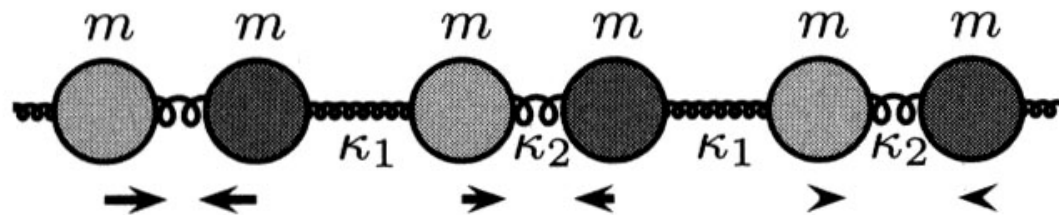


Fig. 10.9 A long-wavelength optical mode for the alternating chain.

Optische Mode

Auslenkungsmuster für große Wellenlängen ($k \rightarrow 0$):
benachbarte Atome bewegen sich gegenphasig

Rechnung:
Auslenkungsmuster

Namensgebung: Schwingungsmode wird in Ionenkristallen durch Licht angeregt

Auslenkungsmuster der Schwingungsmoden

→ Eigenvektoren der dynamischen Matrix D

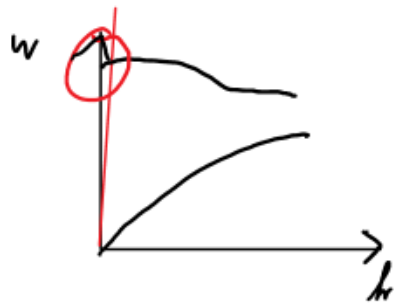
→ somit k-abhängig

Sonderfall $k \rightarrow 0$

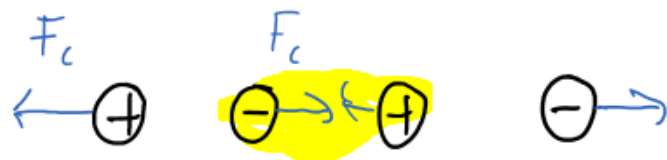
$$m \omega^2 \begin{pmatrix} A_x \\ A_y \end{pmatrix} = \begin{bmatrix} D_1 + D_2 & -(D_1 + D_2) \\ -(D_1 + D_2) & D_1 + D_2 \end{bmatrix} \begin{pmatrix} A_x \\ A_y \end{pmatrix}$$
$$= (D_1 + D_2) \begin{bmatrix} 1 & -1 \\ -1 & 1 \end{bmatrix} \begin{pmatrix} A_x \\ A_y \end{pmatrix}$$

akust. Zweig: $\omega_- \rightarrow 0 \Rightarrow A_x = A_y \Rightarrow$ gleichphasige Bewegung

opt. Zweig: $\omega_+ \rightarrow \sqrt{\frac{2}{m}(D_1 + D_2)} \Rightarrow A_y = -A_x \Rightarrow$ gegenphasige Bewegung

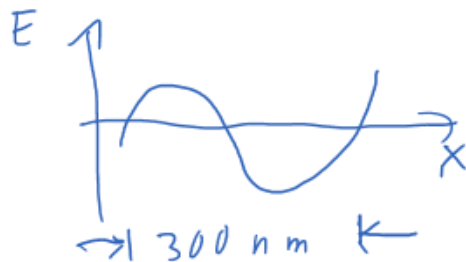


Lichtgerade: $\omega = c k$ $c = \frac{c_0}{n}$



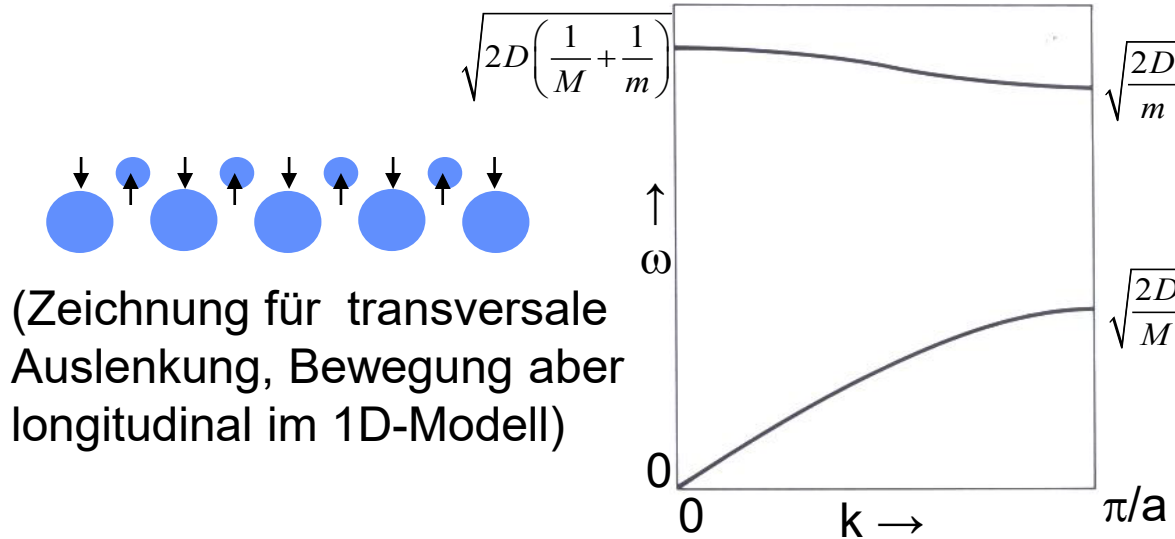
$a \approx 1 \text{ nm}$

$E \approx \text{const}$ $\vec{F} = q \vec{E}$

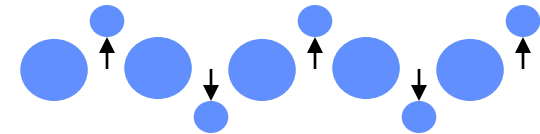


10. Zweiatomige lineare Kette: verschiedene Massen (7)

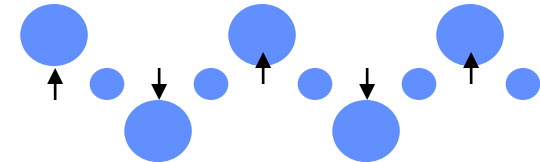
- Bsp. für $M/m = 5$,



nur leichte Masse schwingt, schwere in Ruhe:

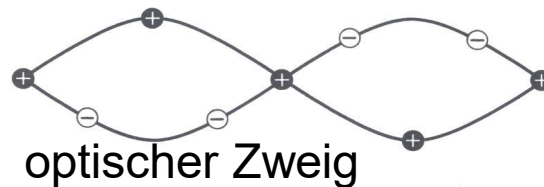


nur schwere Masse schwingt, leichte in Ruhe:



für kleine k , d.h. grosse λ :

Atome schwingen gegeneinander



→ K

Dipolmoment koppelt an elektrisches Wechselfeld
(→ Anregung v.a. durch Infrarotstrahlung)

Atome schwingen miteinander



→ K

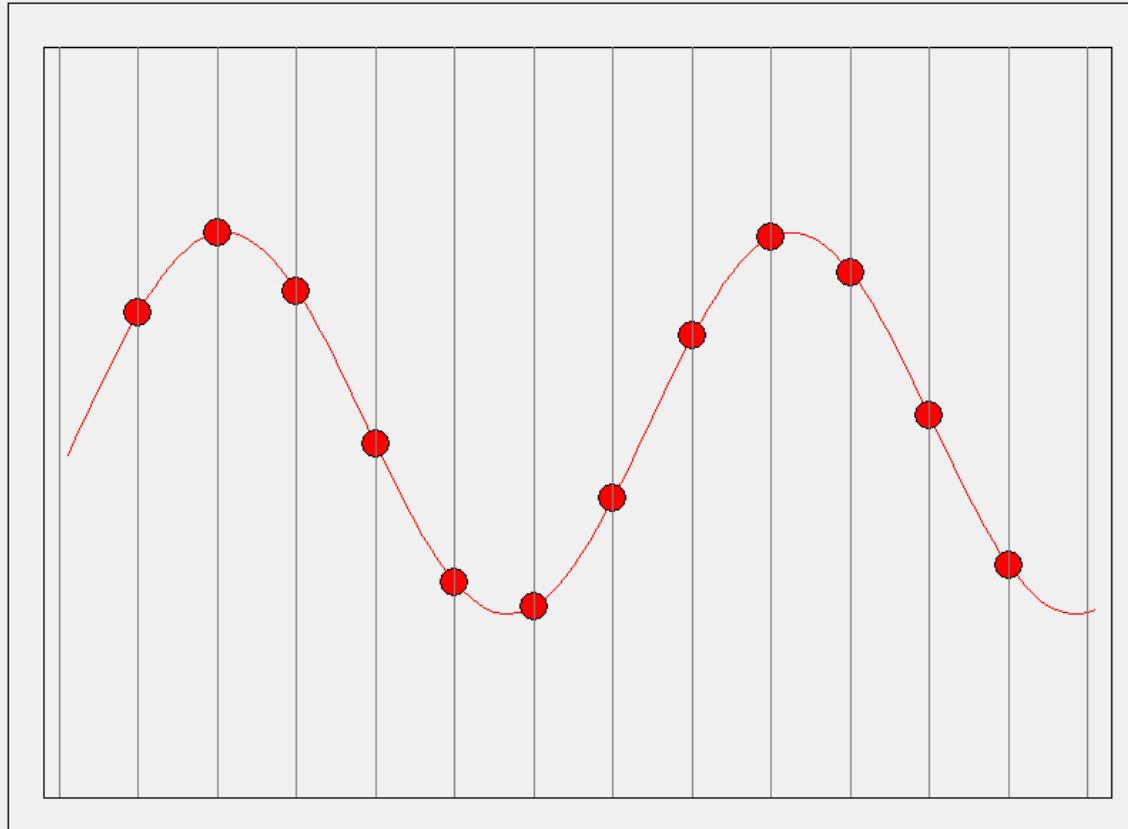
Ankopplung an Schall

Exkurs: Simulation Chainplot

MONATOMIC CHAIN written by Mike Glazer, Oxford

The length A is the distance between atoms

The wavelength is $7,2 A$



Speed Damping k value

$k=0$

6 4 8 4

$k(\max)$

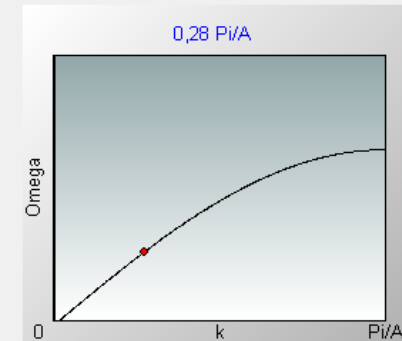
C1 C2 M1 M2

☒ Acoustic

☐ Optic

☐ Imaginary Wave

☐ Longitudinal



Help

MonAtomic

NextN

Diatomic

Alternating

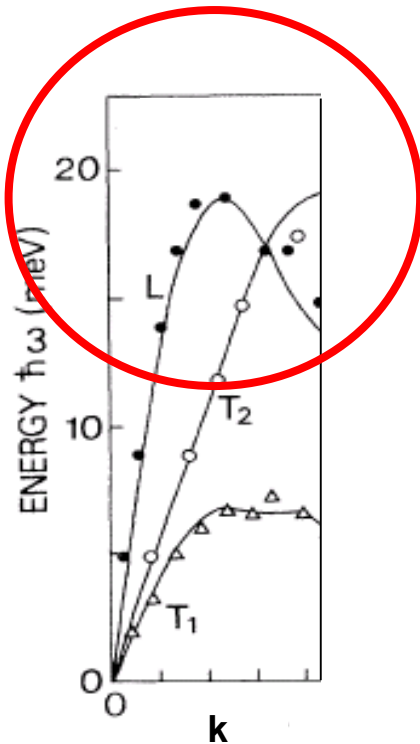
Combined

Interrupt

Exit

Erinnerung: 2. Schwingungsmoden realer Festkörper (8)

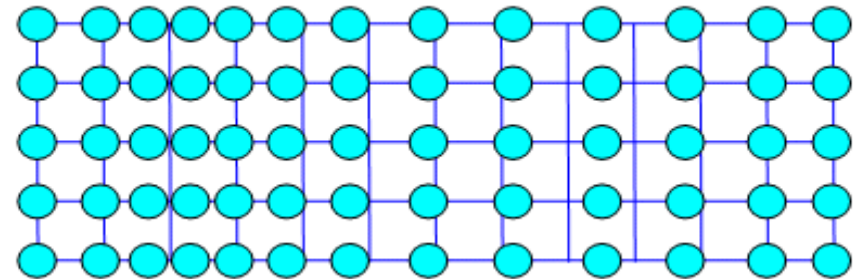
Experimentelles Beispiel: Zirkonium



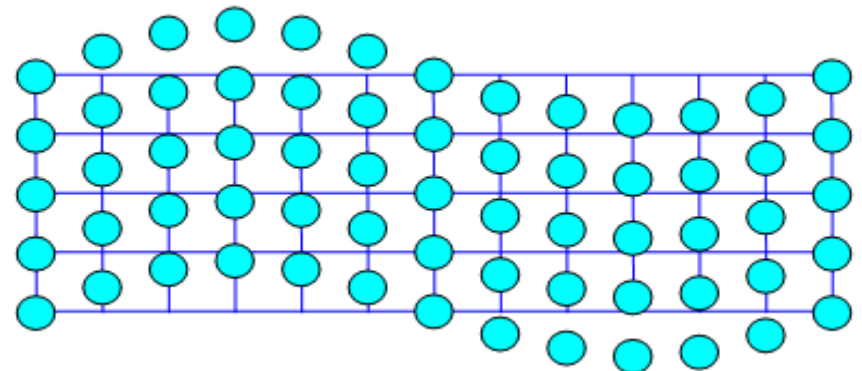
Schlussfolgerungen:

- 3 Schwingungsmoden im Festkörper
1 x longitudinal
2 x transversal (in 3D)

longitudinal polarisierte Welle:



transversal polarisierte Welle:



10. Zweiatomige lineare Kette (8)

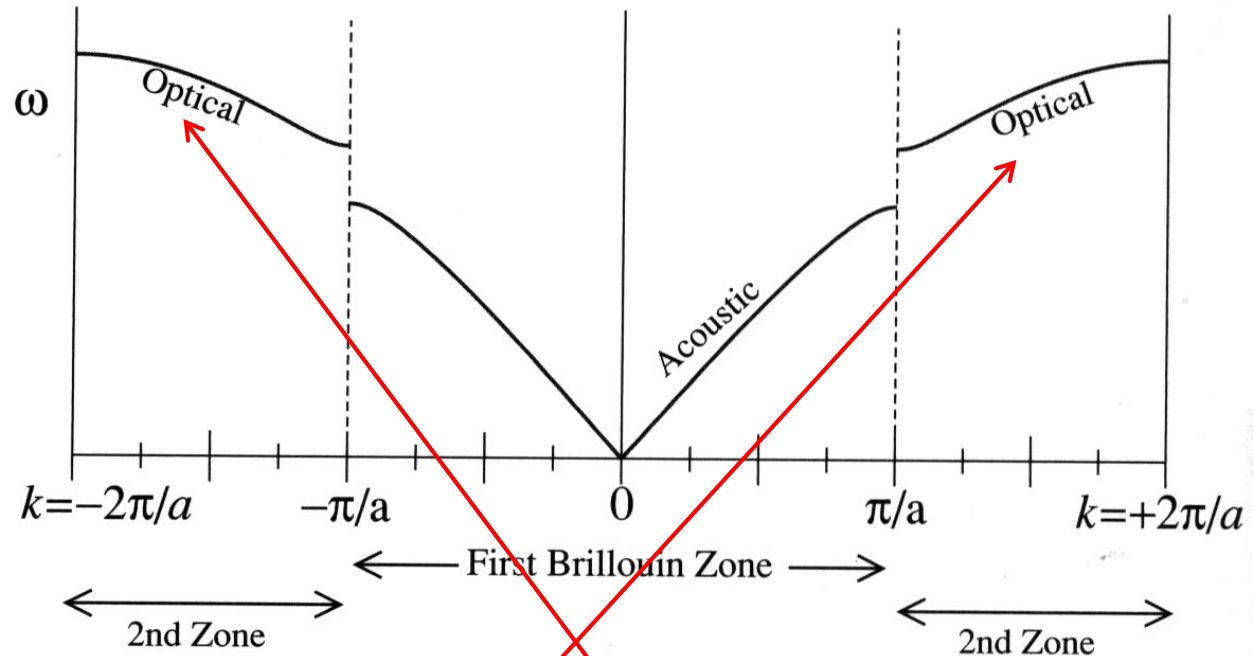


Fig. 10.8 Dispersion relation of vibrations of the one-dimensional diatomic chain in the extended zone scheme (again choosing $\kappa_2 = 1.5\kappa_1$). Compare this to Fig. 10.6. One can think of this as just unfolding the dispersion such that there is only one excitation plotted at each value of k . The first and second Brillouin zones are labeled here

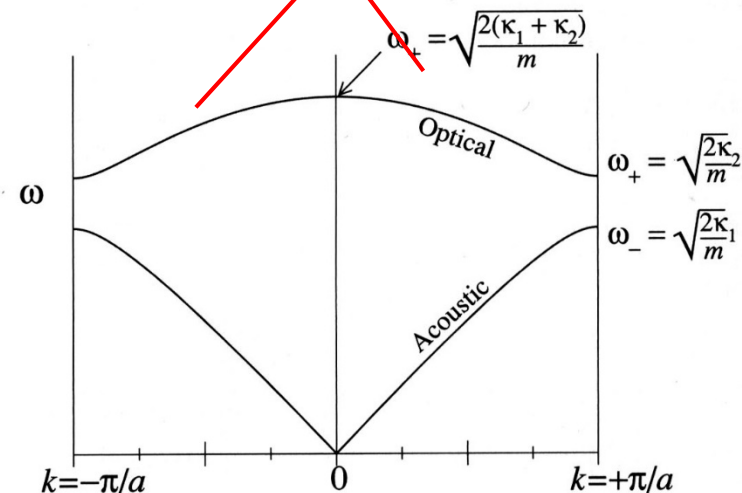


Fig. 10.6 Dispersion relation for vibrations of the one-dimensional diatomic chain. The dispersion is periodic in $k \rightarrow k + 2\pi/a$. Here the dispersion is shown for the case of $\kappa_2 = 1.5\kappa_1$. This scheme of plotting dispersions, putting all normal modes within the first Brillouin zone, is the *reduced zone scheme*. Compare this to Fig. 10.8.

10. Zweiatomige lineare Kette (9)

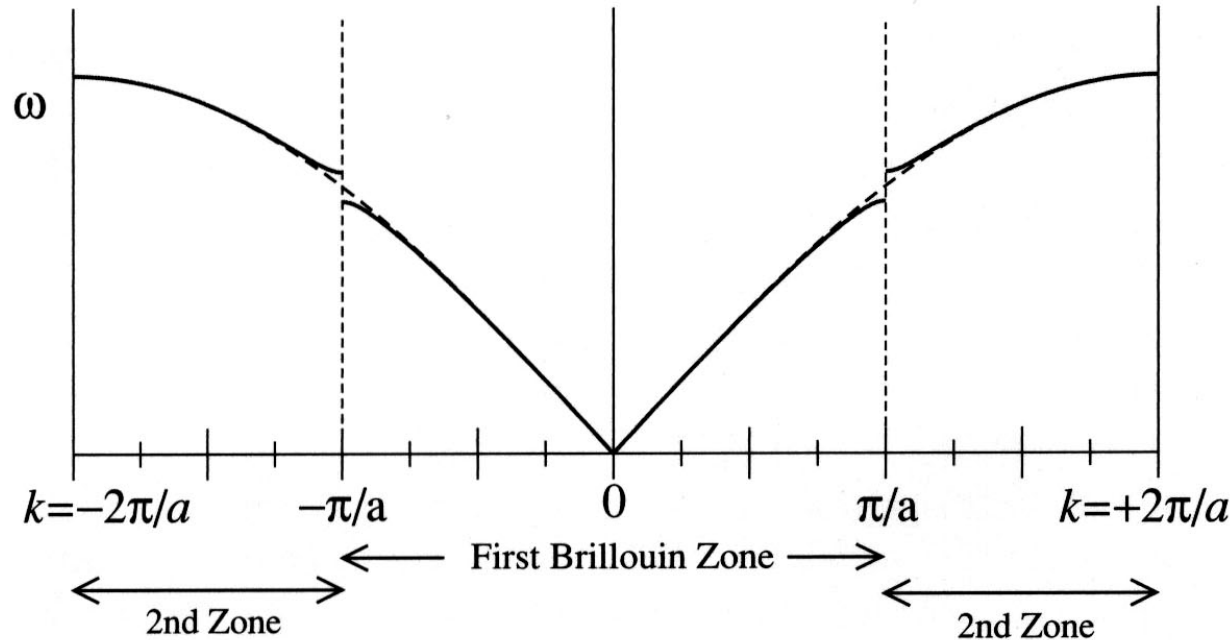
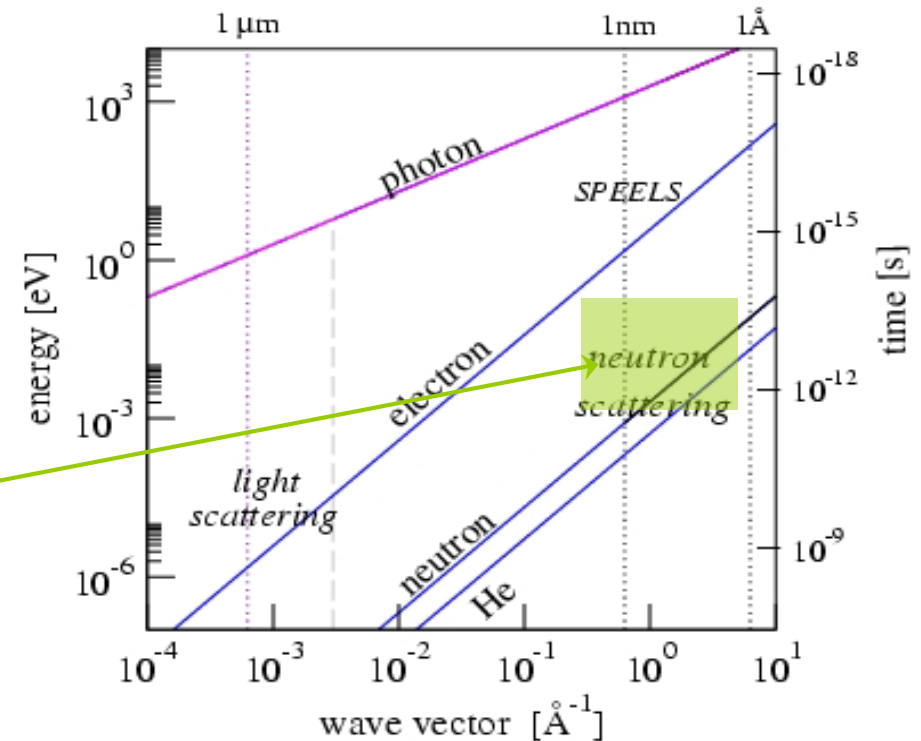


Fig. 10.10 How a diatomic dispersion becomes a monatomic dispersion when the two different atoms become the same. **Solid:** Dispersion relation of vibrations of the one-dimensional diatomic chain in the extended zone scheme with κ_2 not too different from κ_1 ($\kappa_2 = 1.25\kappa_1$ here). **Dashed:** Dispersion relation when $\kappa_2 = \kappa_1$. In this case, the two atoms become exactly the same, and we have a monatomic chain with lattice spacing $a/2$. This single band dispersion precisely matches that calculated in Chapter 9, only with the lattice constant redefined to $a/2$.

10. Zweiatomige lineare Kette: Sonden f. Gitterschwingungen (10)

Sonden	Energie	Impuls
Neutron	$E_n = \frac{p^2}{2m_n}$	$p = mv = \hbar k$
Photon	$E_\gamma = pc$	$p = \hbar k = \hbar \frac{2\pi}{\lambda}$

Phononen



Laserlicht

nur $\omega(k \rightarrow 0)$

Neutron ist die klassische Sonde für Phononen

alternativ

Röntgen-Synchrotronstrahlung mit extremer Auflösung

10. Zweiatomige lineare Kette (11)


Elektromagnetische Welle im Vakuum

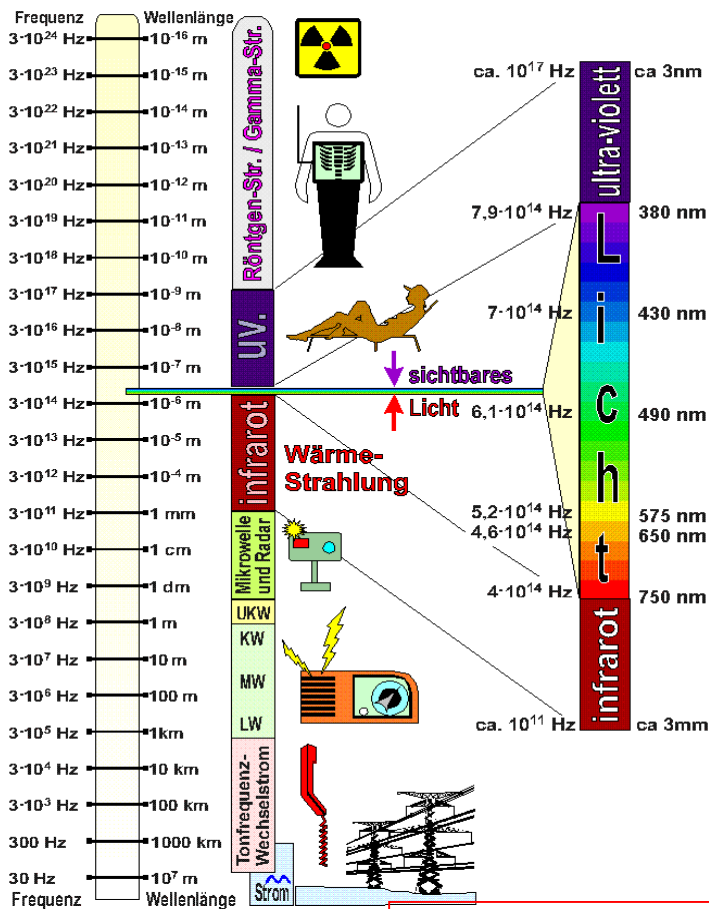
$$\omega = c \cdot k$$

oder

$$v \cdot \lambda = c$$

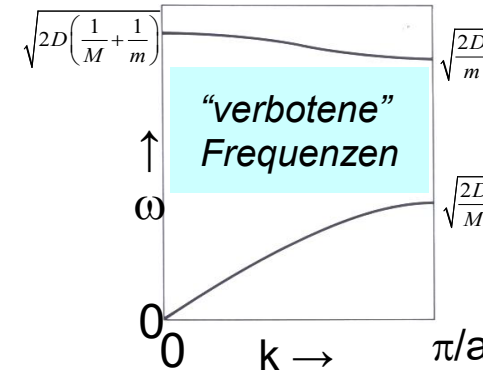
linear über viele Größenordnungen,
alle Wellenvektoren erlaubt

Spektrum der elektromagnetischen Strahlung: pzm001f (c) 1997 D'Wolz/Ulm 



Dispersionsrelation



Gitterschwingung



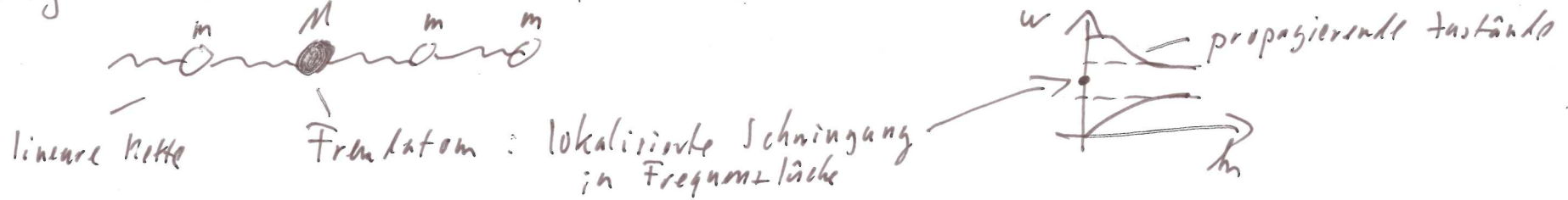
- nur akustischer Zweig nahe $k=0$ hat lineare Dispersion (Schallwellen!)
- Am Zonenrand mündet die Dispersion mit Steigung 0 ein: Gruppengeschwindigkeit $d\omega/dk$ verschwindet, stehende Wellen durch Rückreflexion
- es gibt eine Maximalfrequenz und einen Frequenzbereich, in dem keine Wellenausbreitung erlaubt ist.
- der physikalisch sinnvolle Wertebereich der Wellenvektoren ist auf die 1. BZ begrenzt
- aufgrund der Randbedingungen gibt es nur endlich viele Wellenvektoren, kein Kontinuum.

Unterschiede durch diskrete, periodisch angeordnete Oszillatoren

Anmerkungen

- periodische Dispersion? Periode im Ortsraum \leftrightarrow Periode im k -Raum
- Effekte jenseits der NR-NW?  \rightarrow Maxima in der BZ 
- Effekte jenseits der harmon. Näherung? \rightarrow thermische Ausdehnung (Grünstein-Param.) $\alpha(T)$
 \rightarrow WW der Phononen: Addition, Zerfall

- Störungen der Periodizität, z.B. durch Fremdatome?



- Einbettung in größeren Kontext?

